

ژوئیمی، دگرسانی و کانی‌زایی طلا در منطقه شانق، دلیجان (اصفهان)

 منیره سخدری^{*}، محمد یزدی^۱ و مهرداد بهزادی^۱

دانشکده علوم زمین، دانشگاه شهید بهشتی، تهران، ایران

تاریخ پذیرش: ۱۳۸۸/۰۲/۰۸ | تاریخ دریافت: ۱۳۸۸/۱۰/۱۲

چکیده

منطقه شانق در بخش مرکزی پهنه سندنج - سیرجان و در ۲۸ کیلومتری جنوب خاور دلیجان قرار دارد. واحدهای سنگی رخمنون یافته در منطقه شامل مجموعه‌ای از سنگ‌های رسوبی کربناتی، ماسه‌سنگی و سیلتی، رسوبی- آتشفسانی (آندرزیتی تا آذرآواری‌های (پیرو-کلاستیک) توف آندزیتی) هستند که توده‌های پلوتونیکی در امتداد شمال خاور- جنوب باخترا و شمال باخترا- جنوب خاور در آنها نفوذ کرده است. سن واحدهای آذرین به اثرسن تا پس از میوسن نسبت داده می‌شود. واحدهای سنگی تحت تأثیر زون‌های گسلی، پهنه‌های برشی، سیستم‌های رگه‌ای، استوک و دایک‌ها است. کانی‌زایی توسط زون‌های برشی، گسل‌ها و دگرسانی کنترل می‌شود. سنگ‌های میزان (مونزونیت)، کوارتز، مونزونیت، آندزیت، دیوریت) تحت تأثیر دگرسانی‌های متفاوت، با شدت‌های مختلف قرار گرفته‌اند که مهم‌ترین آنها سرسیتی، کانولینیتی، کربناتی و سیلیسی است. کانی‌سازی ماده معدنی بسیار ساده بوده و شامل پیریت، کالکوپیریت، اکسیدها و هیدرواکسیدهای آهن است. بر اساس بررسی‌های میکرو‌سکوپی نوری، طلا به صورت آزاد چه درون باطله و چه در حاشیه کانی‌های سولفیدی دیده نشد اما در اکتشافات ژوئیمیائی سنگی طلا در نمونه‌ها اندازه گیری شد که بیشترین مقدار طلا ۲۷۶۰ ppb و میانگین آن ۸۱ است. نتایج بررسی‌های انجام شده و مقایسه ویژگی‌های منطقه شانق با کانسارهای نوع اپی‌ترمال حاکی از آن است که منطقه شانق از نظر ویژگی‌های زمین‌شناسی و کانی‌زایی بیشترین شباهت را با کانسارهای نوع اپی‌ترمال دارد.

کلیدواژه‌ها: کانی‌زایی، دگرسانی، شانق، دلیجان، اصفهان

***نویسنده مسئول:** منیره سخدری

E-mail: monire.sakhbar@gmail.com

۱- مقدمه

توده‌های نفوذی منطقه، افق‌های چینه‌شناسی مختلفی راقطع کرده‌اند. شکل این توده‌ها و وسعت آنها متغیر است که بیشتر به صورت استوک و دایک پیرون‌زدگی دارد و سنگ‌های قدیمی با سن ائوسن راقطع نموده‌اند (شکل ۲). در نتیجه می‌توان سن نسبی آن را به میوسن به بعد نسبت داد. جایگیری این توده‌ها در راستای شکستگی‌ها و گسل‌های منطقه با روند NE-SW و NW-SE است. کانی‌سازی در موارد زیادی در جوار سنگ‌آهک‌های منطقه به صورت رگه‌ها و پهنه‌های کانه‌دار و یا درون خود آنها به صورت استوک ورک و به صورت رگه‌های صفحه‌ای کوارتز، سنگ‌آهک و اکسید آهن در جهت‌های گوناگون دیده می‌شود. عملده کانی‌زایی ایجاد شده در این بخش‌ها دیده می‌شود. بیشتر نمونه‌های برداشت شده از این مناطق به شدت دچار دگرسانی هستند. بنابراین شناسایی آنها سخت بوده اما شواهد باقی‌مانده نشان دهنده ترکیب کوارتز مونزونیت تا دیوریت است. فعالیت‌های آتشفسانی منطقه به صورت انفرجاری و گذازهای بوده است. مواد آذرآواری شامل واحدهای آندزیتی، برش‌های اتوکلاستیک، اپی‌کلاستیک و همچنین توف با سن میوسن که از تنوع زیادی برخوردار است، هستند (شکل ۲).

۲- ساختار منطقه شانق

درزه‌ها و گسل‌ها در محدوده موردنظر از گسترش به نسبت فراوانی برخوردارند که زمین‌ریخت‌شناسی منطقه را تحت تأثیر قرار داده است. بسیاری از رگه‌ها و یا پهنه‌های کانه‌دار منطقه نیز همراه با این گسل‌ها و شکستگی‌ها هستند. از آثار گسل خوردگی در منطقه می‌توان به مواردی مانند وقوع یا افزایش در شدت دگرسانی در راستای گسل‌ها، جایگیری رگه‌ها و قوع کانه‌سازی، جایگیری توده‌های نفوذی (شکل ۳)، جدایش در راستای رگه‌ها و لایه‌ها، تغییر در شیب لایه‌ها و نیز خردشگی شدید واحدهای سنگی و تشکیل برش‌گسلی اشاره نمود. سنگ‌های دهنده پهنه‌های گسلی در این منطقه، از نظر ساختاری تقریباً خرد شده هستند به طوری که قطعه‌های تشکیل دهنده آن بسته به جنس سنگ میزان، به شدت خرد شده و تشکیل قطعه‌های

منطقه اکتشافی شانق، بخشی از چهار گوش نقشه زمین‌شناسی گلپایگان واقع در پهنه دگرگونی- ماگمایی سندنج- سیرجان است. این محدوده در ۲۸ کیلومتری جنوب خاور دلیجان واقع شده است (شکل ۱). نفوذ واحدهای پلوتونیکی در واحدهای رسوبی کربناتی، ماسه‌سنگی و سیلتی و آتشفسانی باعث دگرسانی و کانی‌زایی در آنها شده است. وجود پهنه‌های برشی- گسلی در این منطقه سبب فراهم آوردن معبری مناسب برای عبور احتمالی محلول‌های گرمایی منشأ گرفته از توده‌های نفوذی یادشده و در نتیجه دگرسانی و کانی‌زایی در آنها شده است. عملده توده‌های منطقه کم‌زرفا و نیمه آتشفسانی هستند که بیشتر به صورت توده‌های کوچک یا به شکل استوک ورک و دایک، واحدهای قدیمی تر راقطع می‌کنند (شکل ۲). مقاله حاضر به بررسی ویژگی‌های سنگ‌شناسی، کانی‌سازی و ژوئیمی این توده‌های آذرین می‌پردازد.

۳- روش بررسی

روش مطالعه در منطقه، شامل مراحل زیر است. تهیه نقشه زمین‌شناسی در مقیاس ۱:۵۰۰۰، تهیه نقشه بی‌亨جاري ژوئیمیابی برای طلا و عناصر وابسته در مقیاس ۱:۲۰۰۰۰، بررسی ژوئیمیابی و آماری ۳۳۳ نمونه سنگی از ترانشه‌های سطحی و ۴۲۷ نمونه ژوئیمی سنگی از خفاری‌ها که برای تعییز ICP-MS توسط شرکت Amel کانادا صورت گرفت. بررسی ۹۳ مقطع نازک و ۳۷ مقطع صیقلی از نمونه‌های سنگی سطحی و خفاری‌ها، برداشت ۱۰ نمونه دگرسان شده برای بررسی‌های XRD که در دانشکده علوم زمین دانشگاه شهید بهشتی انجام شد.

۴- زمین‌شناسی

منطقه شانق از نظر ساختاری زمین‌شناسی، در شمال محدوده زون سندنج- سیرجان قرار می‌گیرد. منطقه اکتشافی موردنظر، از واحدهای نفوذی، آتشفسانی، آتشفسانی- رسوبی و رسوبی با سن ائوسن به بعد واقع شده است. سنگ‌های آتشفسانی- رسوبی نژوژن میزان مناسب برای کانی‌زایی اپی‌ترمال مناسب هستند (Carlile et al., 1991).

کانه‌دار گسلی- برشی در دیگر بخش‌ها نیز با عیار طلای مشابه دیده می‌شود. اما نوع دیگر کانه‌زایی در منطقه‌ای مورد بررسی، کانه‌زایی در میزان کربناتی یا مجاور آن و در نزدیک توده‌های نفوذی است. این نوع از کانه‌زایی در نواحی که واحدهای کربناتی- مارنی از رخمنون برخوردارند (بخش‌های باختری و جنوبی) و توپ طوده‌های نفوذی قطع شده‌اند، رخ داده و در بسیاری از موارد تحت تأثیر شکستگی‌ها، تشکیل پهنه‌های کانه‌دار با عرض و طول زیاد (عرض حدود ۸۰ و طول حدود ۲۰۰ متر) ایجاد شده است. در اینجا نیز راستای عمدۀ رگه‌ها و پهنه‌های کانه‌دار، به پیروی از ساختهای اصلی (گسل‌ها و لايه‌بندی)، E-NE است. بیشترین عیار طلای حاصل در چنین رگه‌ها و پهنه‌هایی در بخش جنوب و جنوب‌باختری محدوده و برابر ۲۷۶ ppb است. به طور کلی رگه‌ها در این منطقه از تنوع برخوردارند. به طوری که یک دسته از آنها، شامل رگه‌ها و رگچه‌های کربناتی (و گاه ژیپسی) بوده که اثری از کانه‌زایی در منطقه نشان نمی‌دهند. اما دسته مهمی از رگه‌ها که از گسترش بسیاری در منطقه برخوردارند، رگه‌های سیلیسی- کربناتی کانه‌دار هستند که این رگه‌ها در بیشتر موارد همراه با پهنه‌های گسلی و دگرانشده دیده می‌شوند (شکل ۷).

کانی‌زایی دیده شده در مقاطع میکروسکوپی شامل: پیریت، گوتیت، هماتیت، لیمونیت، کالکوپیریت، مالاکیت و آزوریت است. همچنین کانی‌های کوارتز، کانی‌های رسی (مونت موریونیت، ایلیت، کاتولینیت و...)، کربنات، آپاتیت و زیرکن از کانی‌های همراه این مجموعه به شمار می‌آیند. پیریت کانی سولفیدی چیره در منطقه شانق است که در این جا شامل دو نسل است که نسل اول متوسط تا درشت دانه، خود شکل، انتشاری در متن سنگ پراکنده است و در تیجه فعالیت‌های اولیه گرمابی- ماگمایی ایجاد شده است و در مرحله دوم یعنی دگرانشی در حال تبدیل به هماتیت و گوتیت هستند و اما شکل بلوری خود را حفظ کرده است (شکل ۸ و ۹). و نسل دوم این کانی همچنین به صورت سالم با بافت پراکنده و پرکنده فضای خالی که رگه‌ها و رگچه‌ها را پر کرده که به صورت شکل‌دار تانیمه شکل‌دار و ریزدانه دیده می‌شود که توپ میکروسکوپی نمونه‌های گرمابی جایگزین شده است (شکل ۱۰) هماتیت و گوتیت خود به شکل ثانویه در مقاطع دیده می‌شوند که از تغییر شکل و هوازدگی پیریت تشکیل شده‌اند. کالکوپیریت به مقدار کم در این سنگ‌ها به صورت پراکنده و افشار درون کانی‌های سیلیکات دیده می‌شود که شکل منظمی ندارد و بیشتر از حاشیه به اکسیدها و هیدروکسیدهای آهن تبدیل شده‌اند (شکل ۱۱). بررسی‌های میکروسکوپی نمونه‌های دگرانشی، کوارتز مرحله اول گرمابی (همراه با سولفید) و کوارتز مرحله آخر است. کوارتزهای پیش از دگرانشی در متن سنگ به صورت پورفیروکلاست دیده می‌شود. در زیر میکروسکوپ، ظاهری کثیف از خود نشان داده، اندازه آنها $1/3$ - 2 میلی‌متر است و تبلور دوباره یافته‌اند و آثار دگرانشی در آنها دیده می‌شود. کوارتز مرحله اول گرمابی ظاهری روشن و شفاف دارند و بعد از آنها در زیر میکروسکوپ به $2-3$ میلی‌متر هم می‌رسد. این کوارتزها همراه با سولفید دیده می‌شود. این کوارتزها در حاشیه بیشتر توپ رگه‌های کوارتز مرحله گرمابی و کربنات‌ها قطع می‌شود و کوارتز مرحله آخری که فاقد کانی‌زایی و تحت شرایط تبلور دوباره ایجاد شده است و اندازه آنها $1-5$ میلی‌متر می‌رسد. (شکل ۱۲)

۷- توالی پاراژنیکی

بر اساس بررسی‌های انجام شده در مقیاس صحرایی، نمونه دستی، میکروسکوپی، ژئوشیمیایی و دگرانشی توالی پاراژنیک کانی‌های منطقه شانق در شکل ۱۳ آورده شده است.

۸- ژئوشیمی

در راستای بررسی‌های لیتوژئوشیمیایی انجام شده نمونه‌های ژئوشیمیایی از بخش‌های

زاویه‌دار در ابعاد مختلف در زمینه‌ای از کربنات کلسیم و اکسیدهای آهن داده‌اند و ایجاد پرش کردۀ‌اند که تحت تأثیر سیال‌های کانه‌دار گرمابی، سیمانی و سخت شده‌اند و تشکیل پرش‌های گسلی- گرمابی را داده‌اند. از بررسی تصاویر ماهواره‌ای، عکس‌های هوایی و مشاهدات صحرایی می‌توان به این نتیجه رسید که ساختارهای اصلی موجود در منطقه دارای دو روند مهم NW-SE و NE-SW هستند. عده کانی‌زایی ایجاد شده در این بخش‌ها، با روند NE-SW و عمود بر روند اصلی منطقه که بیشتر در امتداد شکستگی‌های مناطق دگرانشی به وجود آمدۀ‌اند، دیده می‌شوند که در اثر تجمع کانی‌های فلزی طلادر مانند پیریت و به مقدار کمتر کالکوپیریت‌های طلادر درون سنگ‌های منطقه در درون شکاف‌های گسل‌های موجود که به صورت تله‌ای برای گرفتن آنها عمل و ایجاد شده‌اند. کانی‌زایی از کیفیت سیلیسی شدن و سریسیتی شدن و کربناتی شدن سنگ‌های در برگیرنده همراه با بررسی شدن رگه‌های کوارتز و کانی پیریت است.

۵- دگرانشی

بررسی‌های سنگ‌نگاری بر روی مقطع نازک و صیقلی به منظور شناخت انواع کانی‌های فلزی در سنگ‌های منطقه، بررسی بافت‌های کانی‌سازی، مراحل مختلف کانی‌سازی و همچنین شناخت ارتباط ژئنیکی میان فازهای کانی‌سازی صورت گرفت. در نمونه‌های برداشت شده از واحدهای موجود در منطقه عده کانی‌های تشكیل شده شامل: فلدسپارهای قلیایی، پلازیوکلازها، کوارتز، هورنبلند، پیروکسن و مقادیر کمی بیوتیت، آپاتیت و زیرکن هستند. دگرانشی گرمابی سبب گسترش کانی‌های ثانویه مثل کلسیت، هیدروکسیدهای آهن، سریسیت و کانی‌های رسی بویژه در مونزونیت‌ها شده است (شکل ۴). محصولات دگرانشی گرمابی می‌توانند نشان‌دهنده تحول سیال، مسیر مهاجرت آن و نیز منشأ سیال گرمابی باشند (اشراف پور، ۱۳۸۷). بیشتر فلدسپارها و پلازیوکلازها در حال تبدیل به سریسیت، کانی‌های رسی و کربنات‌ها هستند (شکل ۵). در برخی از نمونه‌ها کانی‌های مافیک مانند پیروکسن‌ها و آمفیبول‌ها در حال تبدیل به کلریت و اکسیدها و هیدروکسیدهای آهن هستند. سنگ‌های درون گیر در منطقه تادر جات مختلفی به شدت دگرانش شده‌اند. بافت اولیه تا حد زیادی از میان رفته است. بر مبنای بررسی‌های صحرایی، میکروسکوپی و دستگاه پتروایکس دگرانشی‌های ایجاد شده شامل آزریلیت، سریسیت، کربناتی، سیلیسی سولفیدی و مقداری کلریتی است که با گسترش آنها با پهنه‌های برشی و شکستگی‌ها و گسل‌ها موجود در منطقه هم خوانی دارد. تعیین ویژگی‌های رخدادهای اپی‌ترمال بر مبنای پایداری مرحله سولفیداسیون در کانی‌زایی و تجمعات در گرانشی بستگی دارد (Chapman et al., 2006). دگرانشی سولفیدی به طور عموم با دگرانشی سیلیسی همراه است (شکل ۶). این نوع دگرانشی با رنگ سرخ و زرد حاصل از هوازدگی سولفیدها به اکسید و هیدروکسیدهای آهن (لیمونیت، هماتیت، گوتیت) به راحتی در صحراء قابل تشخیص است (کوهستانی، ۱۳۸۵).

۶- کانی‌زایی

در منطقه مورد بررسی افزون بر کانی‌سازی انتشاری، کانی‌سازی رگه‌ای نیز دیده می‌شود. به طور کلی کانی‌زایی در محدوده با توجه به مقیاس بررسی ($1:5000$) به دو گونه رگه‌هایی با ستبرای کم از چند سانتی‌متر تا چند متر و پهنه‌هایی برشی قابل تقسیم است. بر اساس بررسی‌های صحرایی، این بخش (شمال محدوده) در واقع در یک پهنه گسلی- برشی قرار گرفته که با فراهم آوردن معبری مناسب برای عبور سیال‌های کانه‌دار، دچار دگرانشی و کانی‌زایی شده است (یزدی، ۱۳۸۱). رنگ رگه‌ها و بخش‌های دگرانش آن، سرخ تا سیاه است که از مقادیر بالای اکسیدهای آهن و سیلیس حکایت می‌کند. بیشترین طول رگه‌های رخمنون یافته در این بخش حدود 200 متر و با ستبرای حدود 80 سانتی‌متر است. از این مدل رگه‌ها و پهنه‌های

مثبت میان دگرسانی و کانی‌زایی، همچنین رخدادهای کانی‌های سولفیدی در رگه‌های کوارتری بیانگر نه نشست هم‌زمان کوارتزها و سولفیدها طی یک رخداد گرمابی است. بنابراین می‌توان ته نشت طلا را در منطقه شانق با فرایند دگرسانی گرمابی در سنگ دیواره مرتبط دانست و می‌توان آن را با کانسراهای نوع اپی‌ترمال قابل مقایسه دانست. دیگر شواهد کانی‌شناسی، ژئوشیمیابی، بافتی و ساختی شامل حضور کانی‌سازی فلزی سولفیدی در سنگ‌های آذرین درونی با سن ترشیاری (ائوسن تا الیگوسن) به صورت رگه‌ای تا استوکورک، همراهی کانی‌سازی با دگرسانی گرمابی وسیع منطقه از جمله دگرسانی آرژیلیتی، سریستی، سیلیسی، کربناتی و کلریتی، حضور بافت‌های پرکنده فضای خالی و برشی به صورت چیره در کانی‌سازی منطقه، حضور کانی‌سازی در زون‌های گسلی و برشی که نشانگر کنترول ساختمانی قوی در کانی‌سازی موجود در منطقه است، حضور کانی‌های کوارتز، کلسدون، کربنات‌ها، کانی‌های رسی، بی‌هنجری عناصر As, Cu, Au, Pb, Sb, Bi, Ag, Zn، تشکیل کانی‌سازی در ژرفای کمتر از ۱ کیلومتر با توجه به حفاری‌های منطقه است.

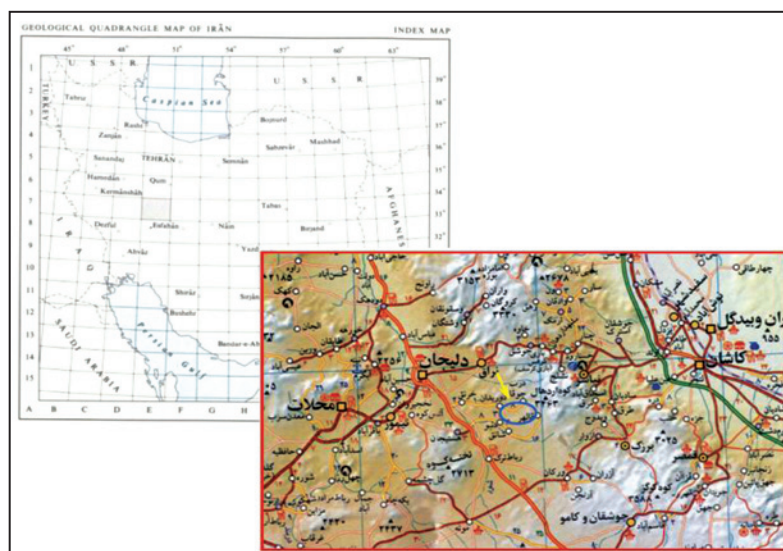
سپاسگزاری

این پژوهش با حمایت‌های مالی و فنی شرکت مهندسی کان آذین و شرکت تهیه و تولید مواد معنی ایران انجام شد. از مدیران، کارشناسان و همکاران مختلفی که در انجام این پژوهش ما را یاری نمودند به ویژه آقای مهندس قربانی کارشناس محترم شرکت کان آذین سپاسگزاری می‌شود.

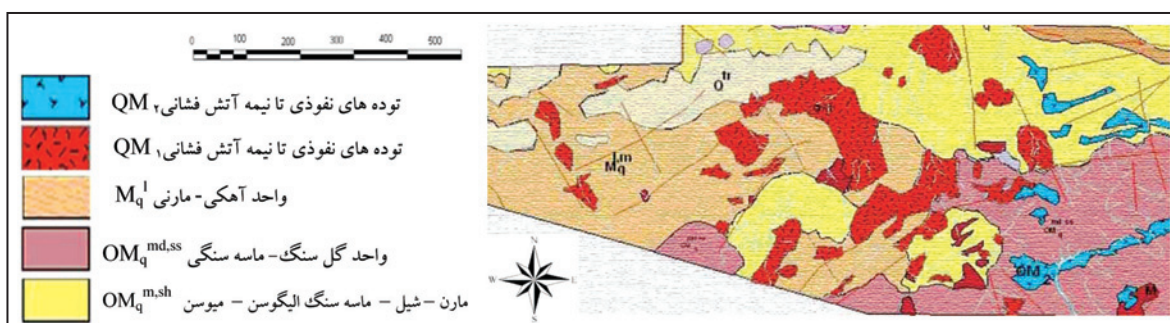
کانی‌سازی شده و دگرسان شده در مجاورت توده‌های نفوذی (مونزونیت)، برداشت شد و در نتایج به دست آمده از همبستگی‌های ناپارامتری و خوش‌های با ضریب اعتماد ۹۵ درصد در بین عناصر اصلی، آهن و در میان عناصر فرعی، بیسموت بیشترین همبستگی و آرسینیک، آنتیمون نیز همبستگی اندکی را ب طلا در بخش‌های پر عیار از خود نشان داده (شکل ۱۴) و با افزایش طلا در بخش‌های به شدت دگرسان شده، افزایش می‌یابند و در حد بی‌هنجری هستند. به دلیل وجود همبستگی مثبت و قوی میان طلا و بیسموت در این محدوده به احتمال کانی‌زایی بیسموت عملکرد مثبتی در حمل طلا داشته است. این منطقه شامل ساختاری پیچیده از توده‌های نفوذی در مجاورت واحدهای رسویی مثل مارن و سنگ‌آهک و شیل است. توده نفوذی شامل آثار کانی‌سازی نیست و نقش شار گرمابی را در تمرکز عناصر داشته است. میانگین طلا در این بخش ۸۱ PPb و بیشترین مقدار آن ۲۷۶۰ ppb است و میانگین دیگر عناصر همراه شامل: Cu: 67.6ppm, Pb: 18.6ppm, zn: 111ppm, Ag: 0.78ppm, As: 93.86ppm, sb: 23.4ppm, Bi: 1.66ppm شکستگی‌ها و دگرسانی‌های موجود است. نقشه بی‌هنجری‌های ژئوشیمیابی برخی عناصر وابسته به طلا در شکل ۱۵ و ۱۶ آورده شده است.

۹- نتیجه‌گیری

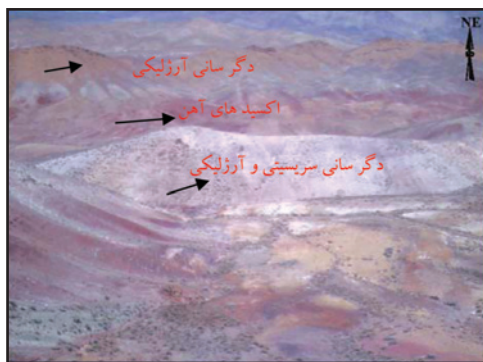
مشاهدات صحرایی و میکروسکوپی و ژئوشیمیابی و انطباق عیارهای بالای طلا در منطقه شانق با بخش‌های به شدت دگرسان شده و پهنه‌های برشی و ارتباط مکانی



شکل ۱- موقعیت محدوده اکتشافی در روی نقشه ایران و راه‌های دسترسی به منطقه شانق ۱:۲۰۰۰۰۰



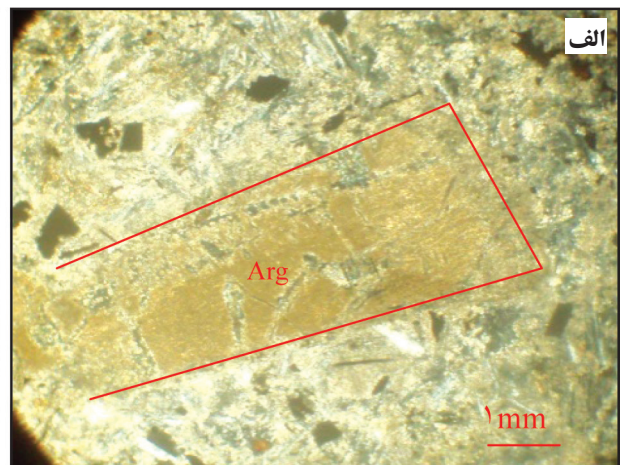
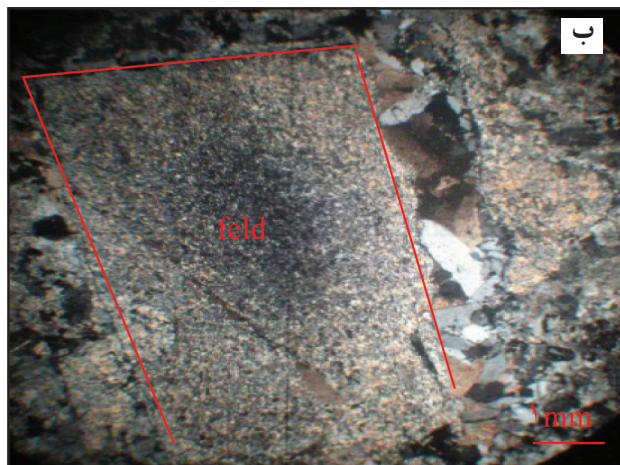
شکل ۲- نقشه زمین‌شناسی (توده‌های نفوذی که در بخش جنوبی واقع شده‌اند) منطقه شانق با مقیاس ۱:۵۰۰۰



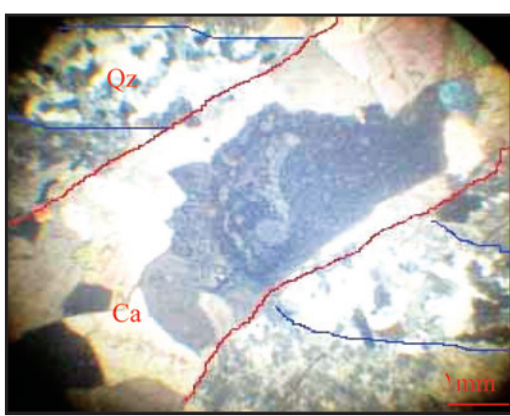
شکل ۴- دگرسانی آرژلیک ، سریستیک و اکسیدهای آهن (هماتیت ، گوئیت و لیمونیت) در توده‌های نفوذی که به دلیل شدت بالای دگرسانی بسیار درهم است.



شکل ۳- توده‌های نفوذی در مجاورت واحد آهکی مارنی



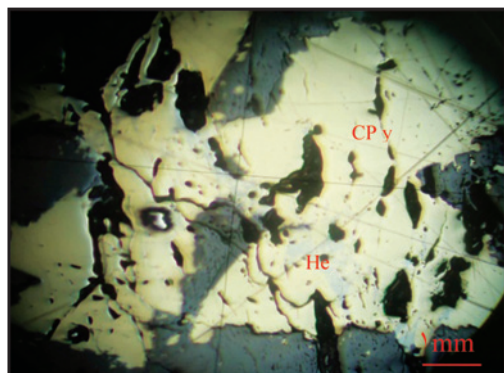
شکل ۵- الف) کانی‌های فلدسپار که به شدت دچار دگرسانی آرژلیکی شده‌اند. ب) دگرسانی سریستی در فلدسپارها (نور شکل الف ppl و تصویر ب XPL).



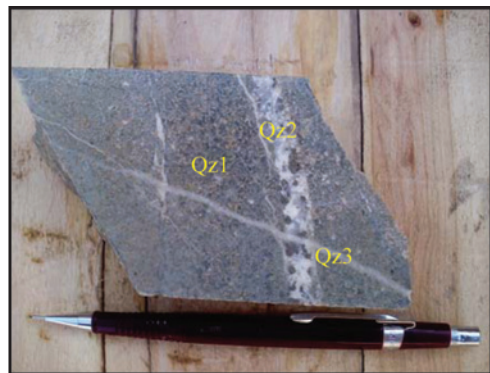
شکل ۷- رگه‌های کوارتز که توسط رگه‌های کربناتی قطع شده است (نور اپل).



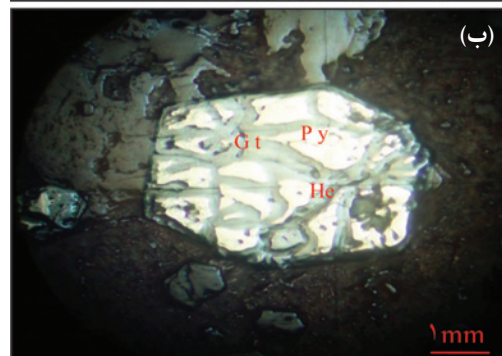
شکل ۶- رگه‌های هماتیت، گوئیت و پیریت در پهنه‌های برشی در شمال منطقه.



شکل ۱۱- کانی کالکوپیریت در حال تبدیل به هماتیت است (نور xpl).



شکل ۱۲- کوارتز نسل اول که در زمینه سنگ دیده می شود، کوارتز نسل دوم که به همراه سولفید و کربنات دیده می شود و کوارتز نسل سوم که در مراحل آخر گرمابی به وجود آمده است و کوارتز نسل دوم را قطع کرده است.



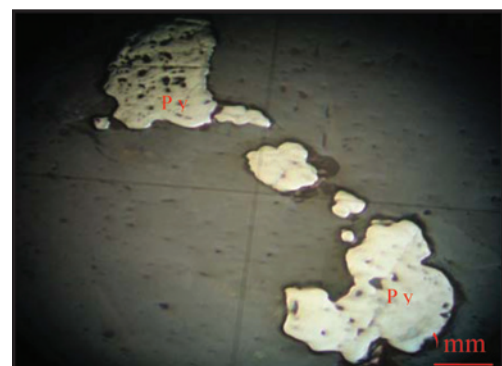
شکل ۸- (الف) پیریت نسل اول که بسیار درشت دانه است و با چشم غیر مسلح به راحتی دیده می شود از حاشیه در حال تبدیل به گوئیت و هماتیت است و در بخش (ب) به شکل جزیره های در حال تبدیل به هماتیت و گوئیت است. (نور xpl).



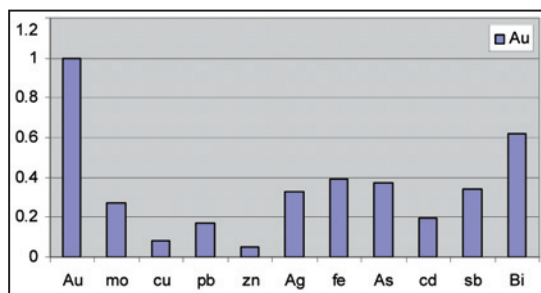
شکل ۹- کانی پیریت در درون رگه ای سیلیسی کربناتی که از حاشیه در حال تبدیل به هماتیت و گوئیت است.

کانی ها	تأخر زمانی →	تقدیم زمانی
پیریت نسل اول(رگه ای)	—	—
پیریت نسل دوم	—	—
کالکو پیریت	—	—
هماتیت	—	—
لیمونیت	—	—
گوئیت	—	—
مالاکیت	—	—
آزوریت	—	—

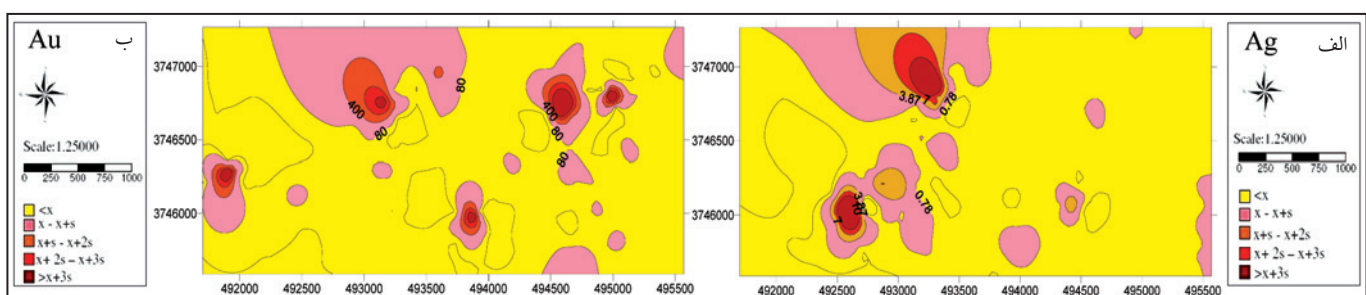
شکل ۱۳- توالی پارازیتیکی کانی ها در منطقه در شانق.



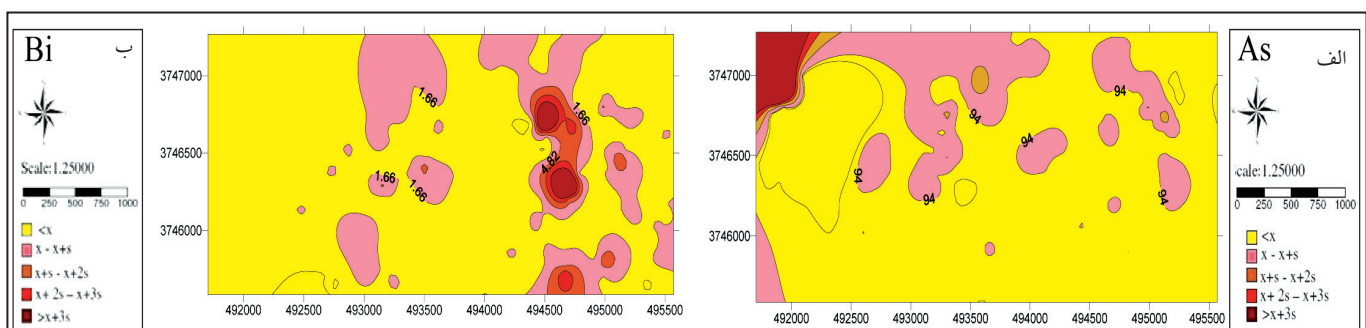
شکل ۱۰- کانی پیریت که به شکل پراکنده دانه در متن سنگ دیده می شود و به نسبت ریز دانه است. (نور xpl).



شکل ۱۴- همبستگی ناپارامتری (پیرسون) عناصر با طلا در نمونه‌های برداشت شده از توده‌های نفوذی در محدوده شانق.



شکل ۱۵- نقشه‌بی‌هنجاری ژئوشیمیایی (الف) آرسنیک و (ب) طلا، در توده‌های نفوذی در منطقه جنوبی شانق.



شکل ۱۶- نقشه‌بی‌هنجاری ژئوشیمیایی (الف) آرسنیک و (ب) بیسموت، در توده‌های نفوذی در منطقه جنوبی شانق.

کتابنگاری

اشرف پور، ا.، ۱۳۸۷- ویژگی‌های ژئوشیمیایی، کانی‌شناسی و دگرسانی محدوده طلای ارغش، پایان‌نامه دکتری، زمین‌شناسی افتصادی، دانشگاه شهید بهشتی.
حسنی پاک، ع.، ۱۳۷۸- اکتشافات ذخایر طلا، انتشارات دانشگاه تهران، ۶۰۹.

سخدری، م.، ۱۳۸۸- ژئوشیمی، کانی‌زایی و دگرسانی سنگ‌های آذرین منطقه شانق، دلیجان، دوازدهمین گردهمایی انجمن علوم‌زمین، اهواز.
کوهستانی، ح.، راستاد، ا.، رشیدنژاد عمران، ن. و مجلد، م.، ۱۳۸۵- کانی‌زایی طلا در پهنه‌های برشی شکل‌پذیر و شکنای کانسار چاه باغ، فصلنامه علمی - پژوهشی، وزارت صنایع
و معدن و سازمان زمین‌شناسی و اکتشافات معدنی کشور.

بزدی، م.، ۱۳۸۱- روش‌های مرسم در اکتشافات ژئوشیمیایی، انتشارات دانشگاه شهید بهشتی، ۱۸۰.

References

- Chapman, R. J. & Mortensen, J. K., 2006- Application of microchemical characterization of placer gold grains to exploration for Epithermal gold mineralization in regions of poor exposure, p 26.
- Thiersch P. C., Williams-Jones, A. E. & Clark, J. R., 2004- Shasta Au-Ag deposit, Toodoggone District, British Columbia, Canada, p44 -57.
- Camprubi, A., Gonzalez-artida, E. & Iriondo, A., 2006- Mineralizing fluids of the shallow epithermal Au-Ag deposits of the El Barqeno district, Jalisco, Mexico, Journal of geochemical Exploration 39-44.
- Carlile, J. C., Davey, G. R., Kadir, I., Langmead, R. P. & Rafferty, W. J., 1991- Discovery and exploration of the Gosowong epithermal gold deposit, Halmahera, Indonesia , p207.